

# محله علمی-پژوهشی «رادار»

سال سوم، شماره ۱، بهار ۱۳۹۴؛ ص ۴۶-۳۵

## شرط‌های یکتایی مقاوم برای رفع ابهام برد و داپلر و تعیین محدوده PRF متوسط

نوروز بهمنی<sup>\*</sup>، محمدعلی سبط<sup>۱</sup>

۱- کارشناس ارشد ۲- استادیار، دانشکده برق، دانشگاه صنعتی خواجه نصیرالدین طوسی

(دریافت: ۹۳/۰۸/۲۲، پذیرش: ۹۳/۱۲/۱۲)

### چکیده

رادارهایی که از PRF متوسط استفاده می‌کنند، هر دو ابهام برد و داپلر را دارند ولی با انتخاب یک دسته PRF، می‌توان این ابهام‌ها را برطرف کرد. دو نکته مهمی که باید در آشکارسازی هدف مدنظر قرار داد، پرهیز از آشکارشدن شبه‌هدف و حداقل کردن مناطق کور است. در این مقاله از الگوریتم ژنتیک برای انتخاب دسته PRF برای حداقل کردن مناطق کور استفاده شده است. سپس با بهره‌گیری از همین دسته و با استفاده از الگوریتم تطبیقی و خوشبندی نقاط آشکارشده نزدیک به هم، رفع ابهام و آشکارسازی اهداف را انجام می‌دهیم، ولی برای کاهش آشکارسازی شبه‌هدف، از الگوریتم حذف شبه‌هدف استفاده می‌کنیم. در این مقاله تعریف جدیدی از شروط یکتایی را ارائه می‌دهیم تا هنگام استفاده از خوشبندی در برابر خطای مقاوم باشد. همچنین نشان می‌دهیم که محدوده PRF متوسط، وابسته به برد و داپلر ماکریم و اندازه سبدهای برد و داپلر است.

### واژگان کلیدی

برد و داپلر مبهم، PRF متوسط، الگوریتم تطبیقی، شبه‌هدف، سرعت و برد کور.

داپلر نمی‌تواند در حین ارسال، دریافت هم داشته باشد، پس اهداف در لحظات متناظر با زمان ارسال پالس قابل آشکارسازی نیستند. به این پدیده، گرفتگی گفته می‌شود [۲].

برای غلبه بر اثرات کلاتر و پدیده گرفتگی، استفاده از چند PRF کارساز است، چون برد و داپلری که در یک PRF کور هستند ممکن است در PRF دیگر کور نباشند. از این خاصیت برای برطرف کردن ابهام یا کوری برد و داپلر استفاده می‌شود. بنابراین یکی از مسائل اصلی، انتخاب دسته PRF ایست که علاوه بر این که مناطق کور کمتری نسبت به دسته‌های دیگر ایجاد می‌کند، هنگام آشکارسازی شبه‌هدف‌های کمتری را نیز تولید کند. روش‌های مختلفی برای انتخاب دسته PRF وجود دارد. در [۱] یک جستجوی سراسری از بین همه PRF‌های ممکن، با توجه به محدودیت‌های مدل رادار که در [۳] آورده شده، انجام شده است. یکی از قدیمی‌ترین روش‌ها، روش انتخاب PRF اصلی و کمکی<sup>۴</sup> است [۴]. یک روش دیگر هم

### ۱. مقدمه

در آشکارسازی اهداف، دو مسئله اساسی را باید مد نظر قرار داد. نکته اول این‌که، حالاتی که ممکن است هدف آشکار نشود را به حداقل رساند و نکته دیگر این‌که شبه‌هدف‌های کمتری آشکار شوند. در عمل، رادارها برای آشکارسازی هدف، به جز نویز با کلاتر<sup>۱</sup> نیز مواجه می‌شوند. بیم اصلی<sup>۲</sup> آنتن رادار بازگشتی‌های ناخواسته‌ای با توان زیاد از کلاترها را دریافت می‌کند که ممکن است مانع از آشکارسازی هدف شوند. مزیت رادار پالس داپلر این است که چون بیم اصلی طیف کلاتر حول یک فرکانس متمرکز است، می‌شود آن را حذف کرد. ولی عیب این کار این است که اهدافی که داپلر آن حول داپلر حذف شده است نیز ممکن است حذف شوند. بنابراین این داپلرها به عنوان داپلر کور در نظر گرفته می‌شوند [۱]. یک رادار پالس

\* رایانه نویسنده پاسخگو: Norouz.bahmani@ee.kntu.ac.ir

<sup>1</sup> Ghost target

<sup>2</sup> Clutter

<sup>3</sup> Main lobe

<sup>4</sup> Main lobe

الگوریتم حذف شبهدف توضیح داده می‌شود و سپس در ادامه این بخش نحوه مقاوم کردن شروط یکتایی در برابر خطا بررسی شد. در پایان این مقاله هم روشی ارایه شده که نشان می‌دهد محدوده PRF متوسط وابسته به برد و داپلر ماکزیمم و اندازه سبدهای برد و داپلر است.

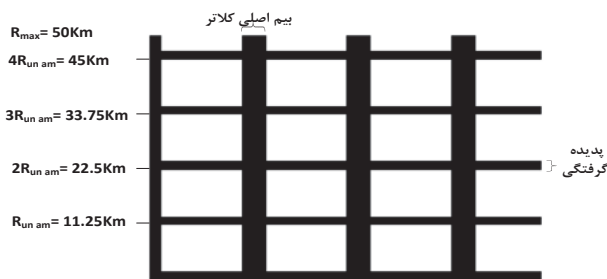
## ۲. معیارهای انتخاب دسته PRF

برای این که بتوان دسته PRF‌های مختلف که از چند استفاده می‌کنند را با هم مقایسه کرد، باید معیاری وجود داشته باشد که با این معیار بتوان دسته‌ها را با هم مقایسه کرد. برای مقایسه روش‌های مختلف از نظر کویر اهداف، از نقشه محدوده کور<sup>۳</sup> استفاده می‌شود که با آن می‌توان تعداد سلول‌های برد و داپلر کور را محاسبه کرد. برای مقایسه از نظر آشکارشدن شبهدف، با روش‌های مختلف، عملیات آشکارسازی را برای موقعیت‌های مختلف آزمایش کرده تا مشخص شود کدام دسته، شبهدف‌های کمتری را آشکار خواهد کرد.

### ۲-۱. حداقل شدن محدوده کور

در یک رادار تکپایه<sup>۴</sup> رادار نمی‌تواند در حین ارسال، دریافت داشته باشد، بنابراین اگر سیگنال برگشتی هدف، هم‌زمان با ارسال پالس که هنوز گیرنده خاموش است، به رادار برسد، نمی‌تواند وارد گیرنده شده و هدف آشکار نمی‌شود که به این پدیده، گرفتگی گفته می‌شود [۲].

عامل دیگری که مانع آشکارسازی درست هدف می‌شود برگشتی‌هایی است که منبع آن کلاتر است. اهدافی که داپلر آن‌ها در محدوده بیم اصلی طیف کلاتر و مضارب صحیح آن هستند آشکار نمی‌شوند و کور فرض می‌شوند [۱-۲]. این دو پدیده را می‌توان در یک شکل ۲ بعدی که با عنوان نقشه محدوده کور شناخته می‌شود نمایش داد. در شکل ۱ نقشه محدوده کور برای PRI=33μs رسم شده است. مناطقی که با رنگ سیاه مشخص شده‌اند بیان‌گر مناطق کور هستند.



شکل ۱. نمایش نقشه کوری برای PRI = 33μs

<sup>۳</sup> Blind zone map

<sup>۴</sup> Monostatic

روش انتخاب دسته PRF با معیار M از N است. یعنی این که در یک دسته PRF، N تایی، حداقل در M تا از این PRF‌ها هدف باید قابل آشکارسازی باشد. از جمله روش‌هایی که اساس آن معیار M از N است، روشی است که از الگوریتم ژنتیک برای انتخاب دسته PRF استفاده می‌کند. با کمک گرفتن از این الگوریتم، روشی ارائه شد که نسبت به جستجوی کلی به زمان کمتری نیاز دارد. ساختار این الگوریتم به گونه‌ای است که کمتر در نقاط بھینه محلی متوقف شود و احتمال این که به یک جواب بھینه کلی برسد زیاد است [۵-۶]. در [۷]، برای اولین بار از این الگوریتم استفاده شد ولی در این کار اشاره‌ای به شروط تضمین کننده یکتایی جواب نشد. سپس در [۸-۱۰] شروطی که یکتایی جواب را در محدوده مورد بررسی تضمین می‌کنند نیز در نظر گرفته شده است. در این مقاله نیز از همین الگوریتم برای انتخاب دسته PRF استفاده می‌کنیم. بعد از انتخاب دسته PRF فرآیند آشکارسازی هدف را انجام می‌دهیم. یکی از روش‌های قدیمی استفاده از نظریه باقیمانده چینی<sup>۱</sup> است [۱۱-۱۲]. از مشکلات می‌توان به عدم کارآیی مناسب در حضور چند هدف و محدودیت اول بودن PRI‌ها نسبت اشاره کرد. مشکل دیگر این روش این است که اگر مثلاً برد مبهمی که تخمين زده می‌شود دارای خطای باشد، برد بدون ابهامی که با این روش تخمين زده می‌شود با خطای فراوانی همراه است. روش دیگر الگوریتم تطبیقی<sup>۲</sup> است که در فضای دو بعدی، به ورت هم‌زمان ابهام برد و داپلر را بطرف می‌کند [۴]. چون در فرآیند بھینه‌سازی از معیار M از N استفاده شد در اینجا هم از این معیار قدمی استفاده می‌شود. از آنجایی که ممکن است برد و داپلر مبهم تخمين‌زده شده با خطای مواجه باشند از خوشبندی نقاط بالقوه نزدیک به هم برای آشکارسازی استفاده شده است به این صورت که اگر تعداد نقاط آشکارسازی که درون یک خوشه قرار می‌گیرند برابر با بزرگتر از M باشند آن خوشه به عنوان مکان هدف در نظر گرفته می‌شود [۱۰]. در [۹-۱۰] از تعریف کوچکترین مضرب مشترک PRI‌ها برای تضمین یکتایی آشکارسازی یک هدف در محدوده برد و داپلر قبل آشکارسازی استفاده می‌شود، ولی چون از خوشبندی استفاده می‌شود، استفاده از این تعریف در بعضی از موارد شرط یکتایی را تضمین نمی‌کند. در این مقاله تعریف جدیدی از کوچکترین مضرب مشترک که در واقع مقاوم کردن این شرط در برابر خطای است را معرفی می‌کنیم که یکتایی جواب در محدوده مورد نظر را با وجود خوشبندی هم تضمین می‌کند. سپس کدبرداری PRI‌ها را بر اساس این شروط مقاوم شده انجام داده تا بتوانیم دسته PRF بھینه را به دست آوریم.

در بخش ۲ معیارهایی که برای مقایسه دسته PRF‌ها استفاده می‌شود و در بخش ۳ نیز محدودیت‌هایی که در انتخاب این دسته‌ها وجود دارد آورده شده است. در بخش ۴ ابتدا الگوریتم تطبیقی و

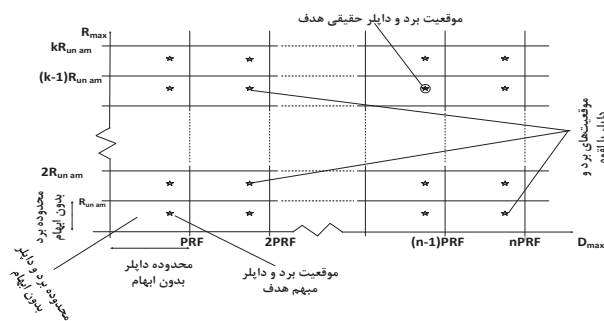
<sup>1</sup> Chinese remainder theorem

<sup>2</sup> Coincident algorithm

آشکارسازی را به طور همزمان در دو بعد برد و داپلر انجام می‌دهد.

#### ۴-۱. الگوریتم تطابقی

در این روش، یک شبکه<sup>۲</sup> از نقاط آشکارسازی بالقوه، مربوط به برد و داپلر مبهم اهداف در فضای دو بعدی برد و داپلر در نظر گرفته می‌شود. منظور از نقاط آشکارسازی بالقوه، تمامی نقاط موجود در فضای برد و داپلر مأکریم است که برد و داپلر مبهم مشابهی با برد و داپلر مبهم هدف داده شده دارند. اصطلاحاتی که در توضیحات مربوط به تشکیل شبکه الگوریتم تطابقی مورد نیاز است در شکل ۲ مشخص شده‌اند.



شکل ۲. نمونه‌ای از شبکه الگوریتم تطابقی برای یک PRF

نحوه تشکیل این شبکه دو بعدی به این صورت است که ابتدا موقعیت برد و داپلر مبهم اهداف زده شده تخمین زده شده اهداف را در محدوده برد و داپلر بدون ابهام مشخص کرده و سپس این محدوده مشخص شده را با مضارب صحیح  $R_{unam}$  و PRF در محورهای برد و داپلر تکرار کرده تا تمام موقعیت‌هایی که برد و داپلر مبهم متناظر با آن‌ها می‌تواند این برد و داپلر مبهم تخمین زده شده باشند مشخص شود. برای آشکارسازی اهداف در هنگام استفاده از چند PRF مختلف، باید برای هر PRF یک شبکه در نظر گرفت و سپس این شبکه‌ها را با هم تطبیق داد. شبکه‌ها در برد و داپلر حقیقی اهداف بر روی هم منطبق می‌شوند [۴]. خطاهای اندازه‌گیری ممکن است موجب شود که مختصات نقاط آشکارسازی بر روی هم منطبق نشوند، بنابراین برای آشکارسازی از خوشبندی نقاط آشکارسازی بالقوه استفاده می‌شود [۱۰]. این روش نسبت به روش نظریه باقیمانده چینی حساسیت خیلی کمتری به خطاهای اندازه‌گیری دارد و همچنین در حضور چندین هدف نیز عملکرد بهتری دارد و محدودیت اول بودن ترکیب  $R_{unam}$  ها نسبت به هم را نیز ندارد.

#### ۴-۲. الگوریتم حذف شبه‌هدف

در هنگام استفاده از الگوریتم تطابقی هرچه تعداد اهداف زیاد

#### ۲-۲. حداقل شدن تعداد شبه‌هدف

شبه‌هدف‌ها بر اثر همبستگی بازگشتی‌های مبهم از یک هدف با بازگشتی‌های مبهم از اهداف دیگر، یا یک نویز ایجاد می‌شود. یکی دیگر از معیارهای انتخاب M و N در آشکارسازی باینری این است که شبه‌هدف‌های کمتری آشکار شوند.

#### ۳. محدودیت‌های انتخاب PRF

برای انتخاب دسته PRF محدودیت‌هایی وجود دارد که در زیر بیان می‌کنیم:

همان‌طور که از نقشه محدوده کور مشخص است بیم اصلی طیف کلاتر در مضارب صحیح PRF تکرار می‌شود. کوچکترین مقدار PRF باید طوری انتخاب شود که این بیم‌های اصلی طیف کلاتر با هم تداخل نداشته باشند. بنابراین اگر عرض بیم اصلی طیف کلاتر  $\Delta F$  شود، حداقل مقدار PRF باید از  $\Delta F$  بزرگ‌تر باشد [۱]. محدودیت دیگری که در انتخاب PRI وجود دارد برآورده شدن دو شرط (۱) و (۲) است [۱۰-۸].

$$LCM(R_{unam}, R_{unam}) > R_{max} \quad (1)$$

$$LCM(PRF_1, PRF_M) > D_{max} \quad (2)$$

بزرگترین PRI با  $M=1$ ، رابطه (۱) را برآورده می‌کند اما رابطه (۲) را نمی‌تواند برآورده کند و کوچکترین PRI با  $M=1$ ، رابطه (۲) را برآورده می‌کند ولی در عوض قادر به برآورده کردن رابطه (۱) نیست. برای مقادیر متوسط PRF در حالت کلی  $M=1$ ، نمی‌تواند هر دو شرط (۱) و (۲) را برآورده کند. بنابراین  $M>1$  مورد نیاز است [۱۰].

#### ۴. استخراج برد و داپلر

یکی از روش‌های قدیمی استخراج برد و داپلر حقیقی اهداف استفاده از نظریه باقیمانده چینی است. در این روش از رابطه همنهشتی<sup>۱</sup> برای بدست آوردن برد حقیقی هدف استفاده می‌شود. از مشکلات این روش این است که خیلی به خطاهای اندازه‌گیری حساس است و با تغییر کوچکی در مقادیر، با خطاهای زیادی در اندازه‌گیری برد و داپلر حقیقی اهداف مواجه می‌شویم. یکی از شروط اصلی نظریه باقیمانده چینی این است که پیمانه‌ها باید نسبت به هم اول باشند و همچنین در حضور چندین هدف عملکرد مناسبی ندارد. پس تمام ترکیب‌های  $M$  تایی از  $R_{unam}$  های دسته مورد نظر باید نسبت به هم اول باشند که این شرط به شدت انتخاب PRI را با محدودیت مواجه می‌کند.

یکی دیگر از روش‌های آشکارسازی الگوریتم تطابقی است که

<sup>1</sup> lattice

<sup>1</sup> congruence

گسترش می‌دهیم. این کار را برای تمام PRI‌های دسته PRF انتخابی انجام می‌دهیم.

۲) سپس هر خوشهای که تعداد نقاط آشکارسازی درون آن بزرگ‌تر یا مساوی N باشد را به عنوان هدف اصلی در نظر می‌گیریم.

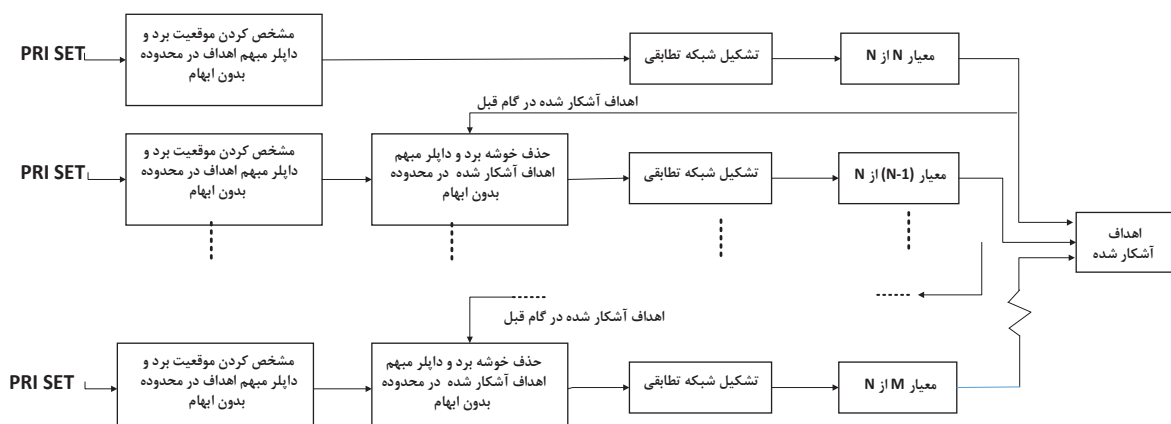
۳) در این مرحله دوباره برد و داپلر مبهم تخمین زده شده اهداف را برای هر PRI در محدوده برد و داپلر بدون ابهام مشخص می‌کنیم. ولی تفاوتی که این مرحله با مرحله ۱ دارد این است که در اینجا برد و داپلر مبهم مربوط به اهداف اصلی را که در مرحله ۲ آشکار شده‌اند را حذف می‌کنیم. ولی از آنجا که ممکن است آشکارسازی کمی با خطأ مواجه باشد، خوشه مربوط به برد و داپلر مبهم اهداف آشکار شده را در محدوده برد و داپلر بدون ابهام حذف می‌کنیم. منظور از حذف این است که در اینها های مربوط به خوشه برد و داپلر مبهم این اهداف را در ماتریس الگوریتم تطابقی برابر صفر قرار می‌دهیم.

۴) در این مرحله سطح آستانه N-1 در نظر گرفته می‌شود و هر خوشه‌ای که تعداد نقاط آشکارسازی درون آن بزرگ‌تر یا مساوی N-1 بود را به عنوان هدف اصلی در نظر می‌گیریم.

۵) به همین ترتیب مرحله‌های ۱ تا ۴ را تا وقتی که سطح آستانه برابر M شود ادامه می‌دهیم. در این مرحله از کار، الگوریتم پایان یافته و اهداف آشکار شده را به عنوان اهداف اصلی در نظر می‌گیریم.

### ۴-۳. مقاوم کردن شروط یکتایی در هنگام استفاده از خوشبندی در الگوریتم تطابقی

همانطور که گفته شد در الگوریتم تطابقی برای آشکارسازی از خوشبندی استفاده می‌شود. در این مقاله خوشه یک ماتریس  $3 \times 3$  با مرکزیت سلول مورد نظر در نظر گرفتیم، یعنی  $1 \pm S$  حول سبد



شکل ۳. مراحل انجام الگوریتم حذف شبکه‌هدف

<sup>۱</sup> Deghosting

می‌شود همبستگی متقابل بین اهداف زیاد می‌شود بنابراین تعداد شبکه‌هدف بسیار زیاد می‌شود. برای کاهش آشکارسازی شبکه‌هدف نیاز به الگوریتم کمکی دیگری است تا توان تعداد شبکه‌هدف<sup>۱</sup> را کاهش داد. زمانی که از این الگوریتم استفاده نمی‌شود، برای برنامه‌های M از N، سطح آستانه برابر M در نظر گرفته می‌شود و خوشه‌هایی که در تعداد نقاط بالقوه درون آن حداقل M بود به عنوان هدف آشکار می‌شود ولی در این روش حذف شبکه‌هدف از چندین مرحله برای آشکارسازی استفاده می‌شود به این صورت که در مرحله اول سطح آستانه N-1 در نظر گرفته می‌شود و مرحله به مرحله مقدار سطح آستانه کم می‌شود تا خوشه‌های مربوط به اهدافی که در بعضی از PRF‌ها کور بودند و تعداد نقاط آشکارسازی بالقوه خوشه مربوط به آن‌ها کم است نیز آشکار شوند. از آنجایی که حداقل تعداد نقاط بالقوه مورد نیاز برای آشکارسازی M است، الگوریتم تا وقتی که سطح آستانه برابر M شود ادامه می‌یابد. در ادامه به صورت مرحله به مرحله مراحل این الگوریتم به طور کامل تری توضیح داده می‌شود. ایده اصلی این الگوریتم در [۱۳] آورده شده است ولی در آن مقاله صحبتی از خوشبندی نشده است. ما در این مقاله از همان ایده کمک گرفته ولی از خوشبندی استفاده می‌کنیم تا الگوریتم در برابر خطای نیز مقاوم باشد. البته در [۱۰] نیز از روشی تقریباً مشابه این الگوریتم استفاده شده ولی در آن مقاله سایز خوشه‌ها را متغیر در نظر گرفته و اندکی نیز با این الگوریتمی که در این مقاله استفاده شده متفاوت است. در شبیه‌سازی‌های ما اندازه خوشه‌ها ثابت فرض شده است.

مراحل حذف شبکه‌هدف به صورت مرحله به مرحله در زیر آورده شده است.

۱) ابتدا برد و داپلر مبهم تخمین زده شده اهداف مختلف را مانند شکل ۲ برای هر PRI در محدوده برد و داپلر بدون ابهام مشخص کرده و سپس آن را تا برد و داپلر ماکریم تکرار کرده و

تعابیری C را  $LCM_{\Delta}$  دو عدد a و b در نظر می‌گیریم که، باقیمانده تقسیم C یا  $C+\Delta$  بر a و هم بر b کوچکتر از  $\Delta$  باشد.

پس شروط (۱) و (۲) به این صورت اصلاح می‌شوند:

$$LCM_{\Delta}(R_{unam_1}, \dots, R_{unam_1}) > R_{max} \quad (3)$$

$$LCM_{\Delta}(PRF_1, \dots, PRF_M) > D_{max} \quad (4)$$

با این تعریف اولین خوشبایی که بعد از هدف اصلی ممکن است به عنوان موقعیت هدفی آشکار شود بعد از برد و داپلر ماکزیمم اتفاق می‌افتد. حال می‌خواهیم مانند مثال‌های قبلی چک کنیم که آیا با این کار توانستیم شرط یکتایی را برآورده کنیم یا نه؟

دو PRI بالا شرط (۴) را برآورده می‌کنند ولی قادر به برآورده کردن شرط (۳) نیستند. به همین دلیل است که شبه‌هدها، داپلری مشابه با هدف اصلی ولی بردی متفاوت با هدف اصلی دارند.

$$LCM_{\Delta}(393, 459) = 60129 > 1000$$

$$LCM_{\Delta}(153, 131) = 918 < 1000$$

پس باید دو PRI دیگری انتخاب کنیم که شروط (۳) و (۴) را برآورده کنند. با جستجو دو PRI را به این صورت انتخاب می‌کنیم:

$$LCM_{\Delta}(417, 573) = 79647 > 1000$$

$$LCM_{\Delta}(144, 105) = 5040 < 1000$$

$$NR_{am1} = 394, ND_{am1} = 23$$

$$NR_{am2} = 238, ND_{am2} = 23$$

$$NR_1 = 394 \underline{812} \quad ND_1 = \underline{23} \quad 167 \quad 311 \quad 455 \quad 599 \quad 743$$

$$NR_2 = 238 \underline{811} \quad ND_2 = \underline{23} \quad 128 \quad 233 \quad 338 \quad 443 \quad 548 \quad 653 \quad 758 \quad 863 \quad 968$$

مشاهده می‌شود به جز هدف اصلی هدف دیگری آشکار نمی‌شود. به این ترتیب در حالتی که با خوشبندی فرآیند آشکارسازی انجام می‌شود، با این تعریف جدید LCM، می‌شود یکتایی جواب را در محدوده مورد نظر تضمین کرد.

برد مورد نظر و  $\pm$  سبد حول سبد داپلر مورد نظر. مشکل استفاده از خوشبندی آشکار شدن اهداف اضافی است که با یکتایی جواب در محدوده مورد نظر تناقض دارد. برای درک بیشتر با ذکر یک مثال این مشکل را تشریح می‌کنیم. فرض می‌کنیم هدفی دارای برد  $R=40.55\text{ km}$  و داپلر  $D=1.1\text{ KHZ}$  باشد و  $PRI_1 = 131\mu\text{s}$  باشد که در روابط (۱) و (۲) صدق می‌کنند. دقت تفکیک در برد و داپلر (عرض سبد برد و داپلر) نیز به ترتیب  $m^5$  و  $Hz^5$  فرض می‌شود.

شماره سبدهای برد مبهم ( $NR_{am}$ ) و سبدهای داپلر مبهم ( $ND_{am}$ ) هدف نیز بر اساس این دو PRI به این صورت می‌شود:

$$NR_{am1} = 26, ND_{am1} = 23$$

$$NR_{am2} = 352, ND_{am2} = 23$$

اگر مقادیر مبهم را محدوده مورد بررسی با مضارب شماره سبد برد و داپلر بدون ابهام به ترتیب در دو حوزه برد و داپلر گسترش دهیم داریم:

$$NR_1 = 26 \quad 419 \quad \underline{812} \quad ND_1 = \underline{23} \quad 176 \quad 329 \quad 482 \quad 635 \quad 788 \quad \underline{941}$$

$$NR_2 = 353 \quad \underline{812} \quad ND_2 = \underline{23} \quad 154 \quad 285 \quad 416 \quad 547 \quad 678 \quad 809 \quad \underline{940}$$

همان‌طور که مشاهده می‌شود علاوه بر هدف اصلی، هدف دیگری نیز با شماره سبد برد  $NR = 812$  (R=40.55) و  $ND = 940$  نیز به اشتباہ آشکار می‌شود چون سبدهای ۱۹۴۱ و ۱۹۴۰ در یک خوش قرار می‌گیرند که با یکتا بودن جواب تناقض دارد. از آنجایی که خوشبندی موجود عدم یکتایی جواب می‌شود پس در هنگام استفاده از خوش نیاز به تعریف جدیدی از LCM داریم.

### ۴-۳-۱. تعریف جدید

در ادامه این مقاله، LCM را به این صورت تعریف می‌کنیم و اسم این  $LCM_A$  را LCM می‌گذاریم.

کوچک‌ترین عددی که فاصله آن با حداقل یکی از مضارب صحیح هر یک از دو عدد، از عرض خوش ( $\Delta$ ) کمتر باشد. یا به

جدول ۱. شماره سبد برد و داپلر بدون ابهام برای دو  $\mu\text{s}$  و  $PRI_1 = 131\mu\text{s}$  و  $PRI_2 = 153\mu\text{s}$

PRI	مقدار	مقدار برد بدون ابهام	شماره سبد برد بدون ابهام	PRF	مقدار	شماره سبد داپلر بدون ابهام
$PRI_1 = 131\mu\text{s}$		$R_{unam1} = 19.65\text{ km}$	393	$PRF_1 = 7.65\text{ KHz}$		153
$PRI_2 = 153\mu\text{s}$		$R_{unam2} = 22.95\text{ km}$	459	$PRF_2 = 6.55\text{ KHz}$		131

جدول ۲. شماره سبد برد و داپلر بدون ابهام برای دو  $\mu\text{s}$  و  $PRI_1 = 139\mu\text{s}$  و  $PRI_2 = 191\mu\text{s}$

PRI	مقدار	مقدار برد بدون ابهام	شماره سبد برد بدون ابهام	PRF	مقدار	شماره سبد داپلر بدون ابهام
$PRI_1 = 139\mu\text{s}$		$R_{unam1} = 20.85\text{ km}$	417	$PRF_1 = 7.2\text{ KHz}$		144
$PRI_2 = 191\mu\text{s}$		$R_{unam2} = 28.65\text{ km}$	573	$PRF_2 = 5.25\text{ KHz}$		105

جدول ۳. پارامترهای مدل رادار و کلاتر استفاده شده در شبیه‌سازی

فرکانس حامل رادار	۱۰ GHz
PRI محدوده انتخاب	[۳۳ μs - ۳۳۳ μs]
دقت نمونه برداری مقادیر PRI	۱ μs
چرخه کار (درصد عرض پالس نسبت به (PRI))	۲۰%
دقت تفکیک برد ( $R_{bin}$ )	۵۰m
دقت تفکیک داپلر ( $D_{bin}$ )	۵۰ Hz
عرض بیم اصلی طیف کلاتر	۱ KHz ( $\pm 0.5$ KHz)
حداکثر تعداد سبد داپلر ممکن هدف ( $ND_{max}$ )	۱۰۰۰
حداکثر تعداد سبد برد ممکن هدف ( $NR_{max}$ )	۱۰۰۰

نمودار مربوط به درصد آشکار شدن شبهدف و در شکل ۵ نمودار مربوط به درصد اهداف کور را پس از ۱۰۰۰ بار اجرای الگوریتم تطبیقی برای هر کدام از برنامه‌ها را مشاهده می‌کنیم. همان‌طور که شکل ۴ مشاهده می‌شود با افزایش مقدار N، احتمال ایجاد شبهدف‌ها افزایش می‌یابد. به عنوان مثال در حالت ۲ هدفه، اگر N = ۶ باشد ۲ همبستگی متقابل بین اهداف اتفاق در حالی که برای N = ۶، N = ۲ همبستگی متقابل اتفاق می‌افتد. همچنین با افزایش M نیز احتمال ایجاد شبهدف کاهش می‌یابد، چون در برنامه ۳ از N حتماً باید حداقل سه نقطه بالقوه در یک خوشه قرار بگیرند تا به عنوان هدف شناسایی شوند، درحالی که در برنامه ۲ از N فقط کافیست ۲ نقطه بالقوه درون یک خوشه قرار بگیرند، که مسلماً امکان این اتفاق بیشتر است. طبق آنچه که از نتایج بخش ۱-۴

جدول ۴. درصد سلوول‌های کور برای برنامه‌های ۲ از N هنگام استفاده از شروط یکتایی LCM<sub>A</sub> و LCM<sub>A</sub>

N از ۲	(μs) PRI LCM با شروط	درصد سلوول‌های کور		(μs) PRI LCM <sub>A</sub> با شروط
		با شروط LCM	با شروط LCM <sub>A</sub>	
۳ از ۲	۶۹.۵۹.۴۲	%۹/۲۳	%۹/۶۸	۸۵.۱۱۰.۶۸
۴ از ۲	۵۵.۹۴.۶۷.۷۷	%۱/۳۴	%۱/۳۴	۶۸.۸۵.۱۱۶.۹۶
۵ از ۲	۸۲.۲۰.۴.۱۳۱.۱۱۳.۹۷	%۰/۳۴	%۰/۲۲	۳۶.۱۶۷.۷۶.۹۵.۱۲۳
۶ از ۲	۲۲۸.۶۹.۶۴.۱۰۰.۷۸.۱۱۱	%۰/۰۱۵	%۰	۴۳.۶۷.۱۹۹.۵۹.۵۲.۴۶
۷ از ۲	۱۶۰.۹۱.۱۳۱.۷۵.۱۶۷.۱۰.۱۱۲	%۰	%۰	۵۵.۱۸۲.۱۷۷.۱۱۹.۹۷.۱۱۲.۸۷
۸ از ۲	۱۴۱.۱۲۱.۱۸۵.۵۴.۱۹۵.۱۳۱.۸۸.۱۱۵	%۰	%۰	۸۰.۱۳۱.۱۷۸.۱۵۰.۹۲.۱۶۵.۵۷.۱۰۸
۹ از ۲	۱۹۳.۱۲۱.۴۴.۱۶۵.۵۶.۴۱.۱۲۷.۸۹.۲۹۴	%۰	%۰	۱۲۱.۱۵۹.۱۷۷.۱۵۷.۱۰۳.۱۳۴.۷۵.۱۳۹.۱۱۶

جدول ۵. درصد سلوول‌های کور برای برنامه‌های ۲ از N هنگام استفاده از شروط یکتایی LCM<sub>A</sub> و LCM<sub>A</sub>

N از ۳	(μs) PRI LCM با شروط	درصد سلوول‌های کور		(μs) PRI LCM <sub>A</sub> با شروط
		با شروط LCM	با شروط LCM <sub>A</sub>	
۴ از ۳	۷۰.۳۲.۸۸.۵۸	%۱۸/۲۸	%۲۲/۳۷	۴۹.۷۱.۶۰.۸۲
۵ از ۳	۱۲۸.۱۱۰.۹۲.۵۰.۷۸	%۳/۰۱	%۵/۹۸	۵۱.۵۸.۱۲۸.۷۸.۹۰
۶ از ۳	۱۱۸.۵۵.۱۳۵.۸۷.۷۵.۳۶	%۰	%۰/۳۷	۱۰۰.۷۲.۱۱۵.۷۹.۱۲۹.۹۱
۷ از ۳	۶۰.۸۶.۵۵.۱۰.۸.۶۹.۴۸.۹۹	%۰	%۰/۱۶	۹۰.۸۴.۶۹.۱۰.۲.۸۰.۱۱۹.۶۵
۸ از ۳	۵۵.۷۳.۱۰.۱۱۵.۹۱.۱۲۵.۱۳۳	%۰	%۰/۰۰۷	۱۲۰.۱۰.۲.۱۸۶.۱۳۷.۸۷.۸۴.۱۵۳.۱۱۲
۹ از ۳	۹۱.۲۰.۳.۶۶.۵۳.۱۲۳.۹۲.۹۹.۱۱۶.۷۷	%۰	%۰/۰۰۲	۵۹.۱۱۱.۱۳۶.۱۵۳.۱۲۷.۴۰.۱۶۰.۱۸۶.۸۸

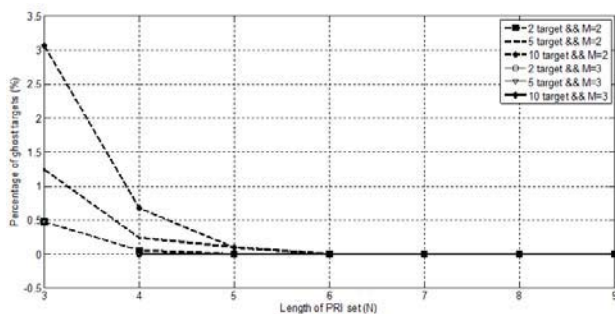
#### ۴. شبیه‌سازی

##### ۴-۱. به دست آوردن دسته PRF

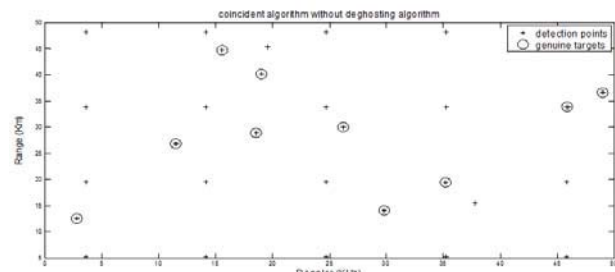
در این قسمت ابتدا با استفاده از الگوریتم زنگیک دسته PRI را برای هر یک از برنامه‌های ۲ از N و ۳ از N به دست می‌آوریم ولی انتخاب PRI را یک بار با استفاده از شروط (۱) و (۲) و بار دیگر با استفاده از شروط (۳) و (۴) انجام می‌دهیم تا مقایسه کنیم که آیا این شروط یکتایی مقاوم شده تغییر محسوسی در درصد سلوول‌های کور ایجاد می‌کنند یا نه. با توجه به جدول ۴ و جدول ۵ مشخص می‌شود که این شروط مقاوم شده، باعث تغییر زیادی در تعداد و درصد سلوول‌های کور نشده است و حتی در بعضی از موارد باعث کاهش تعداد و درصد سلوول‌های کور نیز شده است. بنابراین می‌توان گفت که بدون نگرانی از افزایش درصد سلوول‌های کور می‌توانیم از این شروط یکتایی جدید استفاده کنیم. همچنین با افزایش مقدار N درصد سلوول‌های کور کاهش می‌یابد، چون سلوولی کور در نظر گرفته می‌شود که در حداقل N-M+1 عدد PRF کور باشد. افزایش مقدار M که همان سطح آستانه می‌باشد نیز افزایش درصد سلوول کور را در پی دارد چون افزایش M باعث افزایش سطح آستانه می‌شود.

##### ۴-۲. استخراج برد و داپلر هدف در محیط چند هدفی

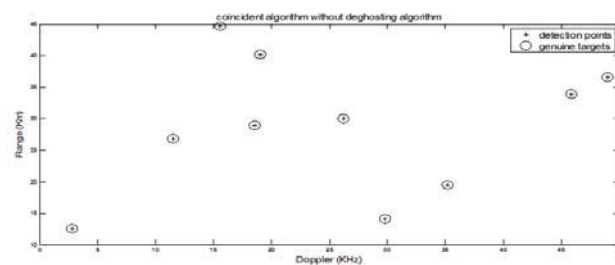
در این قسمت الگوریتم تطبیقی را برای حالاتی که ۲، ۵ و ۱۰ هدف در فضای مورد بررسی وجود دارد انجام می‌دهیم. در شکل ۴



شکل ۶. درصد ایجاد شبهدف هنگام استفاده از الگوریتم حذف شبهدف



شکل ۷. آشکارسازی برای ۱۰ هدف در برنامه ۲ از ۵ بدون الگوریتم حذف شبهدف

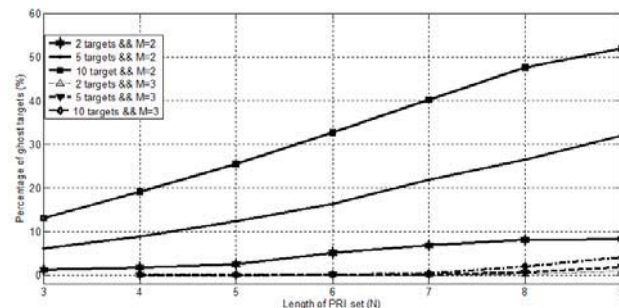


شکل ۸. آشکارسازی برای ۱۰ هدف در برنامه ۲ از ۵ همراه با الگوریتم حذف شبهدف

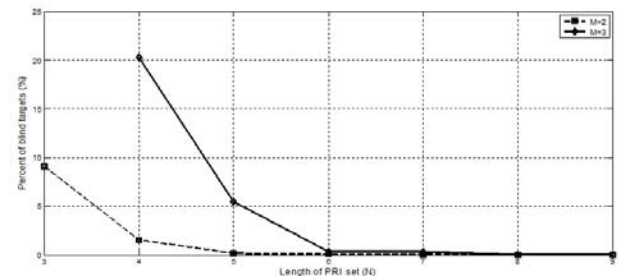
### ۴-۳. انتخاب M و N مناسب

در این مقاله ما دسته PRF هایی که درصد سلول های کور آنها زیر ۱٪ و همچنین درصد ایجاد شبهدف برای آن برنامه نیز زیر ۱٪ است را به عنوان دسته های قابل قبول انتخاب می کنیم. از بین برنامه های ۲ از N، N ≥ 5 و از بین برنامه های ۳ از N، N ≥ 6 قابل قبول هستند. ولی از بین این برنامه ها برنامه کوتاه تر را انتخاب می کنیم تا زمان پردازش کوتاه تر بر روی هدف مورد نیاز باشد. پس برنامه های ۲ از ۵ و ۳ از ۶ را انتخاب می کنیم. اکنون می خواهیم بین دو برنامه ۲ از ۵ و ۳ از ۶ نیز یک برنامه را به عنوان دسته PRF اصلی انتخاب کنیم. در کاربردهای مختلف ممکن است هر کدام از این برنامه ها انتخاب شوند. اگر تعداد شبهدف کمتر از اهمیت ویژه ای برخوردار باشد از بین ۲ برنامه، برنامه ۳ از ۶ را انتخاب می کنیم و اگر زمان پردازش کمتر از اهمیت بالاتری برخوردار است از بین دو برنامه

بدست آمد، انتظار می رود که با افزایش N، تعدا اهدافی که کور می شوند یا به عبارتی آشکار نمی شوند کاهش یابد و همچنین با افزایش M نیز این تعداد افزایش یابد که با توجه به شکل ۵ این امر اتفاق می افتد.



شکل ۹. درصد ایجاد شبهدف



شکل ۱۰. درصد اهداف کور

### ۴-۲-۴. آشکارسازی به کمک الگوریتم حذف شبهدف

شکل ۶ نیز درصد ایجاد شبهدف، برای برنامه های مختلف ۲ از N و ۳ از N در حالتی که از الگوریتم حذف شبهدف استفاده می شود را نشان می دهد. بدون استفاده از این الگوریتم هرچه مقدار N و تعداد اهداف افزایش پیدا می کند با افزایش تعداد شبهدف مواجه می شویم. ولی وقتی از الگوریتم حذف شبهدف استفاده می شود با افزایش N درصد ایجاد شبهدف کاهش می یابد. دلیل این کاهش هم این است که در این روش در ابتدا سطح آستانه N است و رفته رفته تا مقدار M کاهش می یابد، بنابراین هرچه مقدار N بیشتر باشد سطح آستانه بالاتری داریم و این که هرچه به سمت اهداف آستانه پایین تر حرکت می کنیم به علت آشکارشدن بعضی از اهداف در مرحله قبل الگوریتم، تعداد اهداف باقیمانده که هنوز آشکار نشدهند کاهش می یابد و به همین دلیل همبستگی متقابل بین اهداف نیز کاهش می یابد. در شکل های ۷ و ۸ به ترتیب نتیجه آشکارسازی بدون استفاده از الگوریتم حذف شبهدف و هنگام استفاده از الگوریتم حذف شبهدف برنامه ۲ از ۵، برای ۱۰ هدف نمایش داده شده است. نماد دایره مربوط به موقعیت درست ۱۰ هدف و نماد به علاوه (+) مربوط به نتایج آشکارسازی هستند.

PRI را به این صورت تعیین می‌کنیم که ابتدا از کوچکترین PRI ممکن ( $1\mu s$ ) شروع می‌کنیم. شروط یکتایی را برای ترکیب‌های M تایی چک می‌کنیم. در اولین PRI ای که حداقل یک دسته M تایی ممکن از بین PRI‌های کوچکتر یا مساوی آن پیدا شد که شروط یکتایی را برآورده می‌کند توقف کرده و آن  $PRI = PRI_{min}$  در نظر می‌گیریم. به این صورت محدوده PRI که هیچ ترکیب M تایی برای برآورده کردن شروط وجود ندارد پیدا می‌شود. برنامه ۲ از N را در نظر بگیرید. از  $PRI = 1 \mu s$  شروع می‌کنیم. تا قبل از  $PRI = 28 \mu s$  هیچ ترکیب ۲ تایی پیدا نشد. ولی وقتی به  $PRI = 28 \mu s$  رسیدیم این PRI به همراه  $PRI = 26 \mu s$  شروط یکتایی را برآورده می‌کنند. بنابراین  $PRI = 28 \mu s$  را به عنوان  $PRI_{min}$  برای بحث در نظر گرفتیم چون دارد ولی ما  $PRI = 28 \mu s$  را به عنوان  $PRI_{min}$  در نظر گرفتیم این فرض اولیه این بود که اولین PRI که موجب پیدا شدن یک ترکیب ۲ تایی پیدا شود را به عنوان  $PRI_{min}$  انتخاب می‌کنیم. در اینجا هم به واسطه  $PRI = 28 \mu s$  بود که یک ترکیب دوتایی پیدا شد.

برای بدست آوردن  $PRI_{max}$  از  $PRI = 1000 \mu s$  شروع می‌کنیم و به پایین حرکت می‌کنیم و شروط یکتایی را چک می‌کنیم. در اولین PRI که حداقل یک ترکیب M تایی از بین PRI‌های بزرگتر یا مساوی آن وجود دارد که شروط یکتایی را برآورده می‌کند توقف کرده و آن PRI را به عنوان  $PRI_{max}$  در نظر می‌گیریم. از  $PRI = 1000 \mu s$  شروع می‌کنیم. تا قبل از  $PRI = 300 \mu s$  هیچ ترکیب ۲ تایی پیدا نشد. ولی وقتی به  $PRI = 300 \mu s$  رسیدیم این PRI به همراه  $PRI = 300 \mu s$  شروط یکتایی را برآورده می‌کنند. بنابراین  $PRI = 300 \mu s$  را به عنوان  $PRI_{max}$  در نظر می‌گیریم. بنابراین برای برنامه ۲ از N بررسی شده  $28 \mu s \leq PRI \leq 300 \mu s$  است.

اکنون می‌خواهیم بررسی کنیم که آیا با این تغییر کران‌ها و انتخاب یک یا چند PRI از محدوده PRF‌های پایین یا محدوده PRF‌های بالا افزایشی در تعداد شبه‌هدف داریم که مشکل‌ساز شود یا نه؟ در مقایسه جدول ۷ با شکل ۶ مشاهده می‌شود که درصد شبه‌هدف‌ها تغییر محسوسی نکرده و تغییر محدوده PRF عملکرد آشکارسازی را با مشکل خاصی مواجه نمی‌کند.

#### جدول ۷. درصد شبه‌هدف برای دسته‌های داده شده

دسته PRI (μs)	درصد شبه‌هدف (۲)	درصد شبه‌هدف (۵)	درصد شبه‌هدف (۱۰)
۲۸,۵۹,۵۲	%۰/۴۱	%۱/۳۴	%۳/۲۳
۲۹,۳۱,۴۲,۳۸	%۰	%۰/۱۲	%۰/۶۴
۳۱,۹۷,۶۸,۱۱۰,۷۶	%۰	%۰	%۰/۰۲

برنامه ۲ از ۵ را انتخاب می‌کنیم.

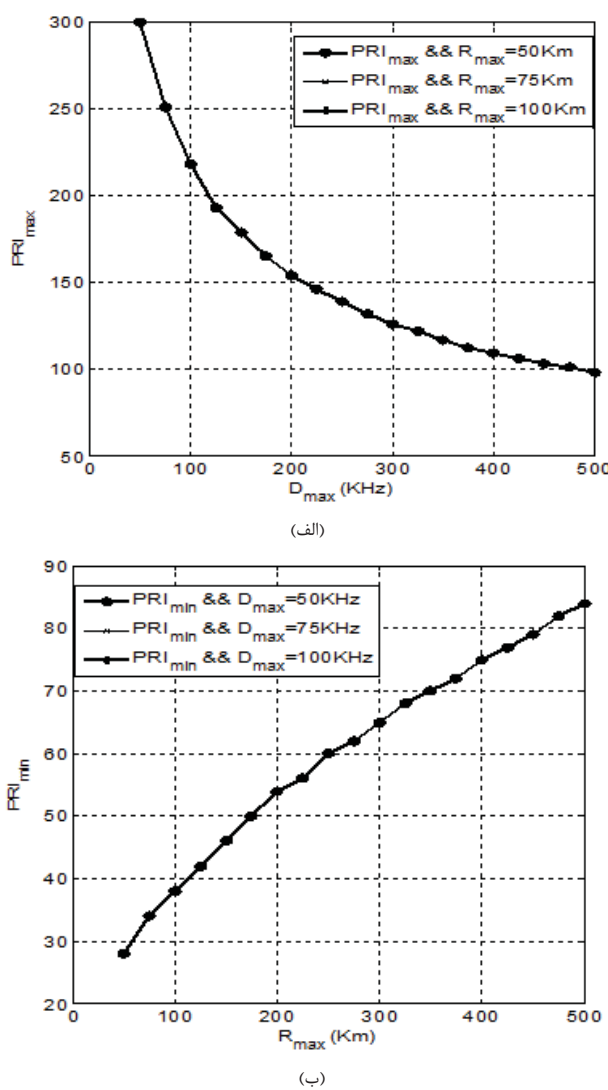
#### ۴-۴. تعیین محدوده انتخاب PRF برای برد و داپلر ماکزیمم داده شده

تا قبل از این بخش برای انتخاب دسته PRI، محدوده انتخاب PRI را محدوده PRI متوسط، یعنی  $[33 \mu s - 333 \mu s]$  در نظر گرفته بودیم. در این بخش به دنبال این هستیم که بینیم اگر محدوده انتخاب (PRI) را گسترش دهیم چه تاثیری بر روی درصد سلول‌های کور و یا درصد شبه‌هدف‌ها دارد. دسته PRI‌های جدول ۶ را در نظر بگیرید. برای برنامه ۲ از ۳ که در این جدول آمده یکی از PRI‌ها کوچکتر از  $33 \mu s$  است ولی درصد کوری آن از درصد کوری برنامه ۲ از ۳ که محدوده انتخاب PRF، محدوده PRF متوسط بود کمتر است. همین اتفاق برای برنامه ۲ از ۵ هم افتاده است. بنابراین این امکان وجود دارد که با کاهش کران پایین محدوده انتخاب PRI درصد سلول‌های کور برای یک برنامه کاهش یابد. البته شاید همیشه این امر اتفاق نیافتد. ولی تا چه اندازه مجاز هستیم که کران پایین PRI را کوچک در نظر بگیریم تا در عین حال که امکان کاهش درصد کوری را فراهم می‌کنیم با افزایش تعداد شبه‌هدف نیز مواجه نشویم. در این قسمت فرض اولیه این است که هر مقدار PRI را می‌توانیم انتخاب کنیم و خود را محدود به PRF متوسط نمی‌کنیم. سپس محدودیت‌های انتخاب PRF که در بخش ۳ گفته شد را اعمال می‌کنیم. طبق جدول ۳ اندازه سبدهای برد برابر  $50\text{ m}$  است. پس عرض سبد برد خوش برابر  $150\text{ m}$  می‌شود. بنابراین از آنجایی که باید  $R_{unam}$  متناظر با هر PRI بزرگ‌تر از عرض خوش باشد تا تداخلی بین خوش‌ها به وجود نیاید بنابراین حداقل PRI ممکن برابر  $PRI = \frac{15}{15} = 1 \mu s$  می‌شود. همچنین حداقل مقدار PRF نیز طبق آن‌چه در بخش ۳ گفته شد، باید  $1\text{ KH}$  باشد. بنابراین حداقل PRI ممکن  $1000 \mu s$  می‌شود.

#### جدول ۶. تعداد و درصد سلول کور برای چند دسته PRI

درصد سلول‌های کور	تعداد سلول‌های کور	دسته PRI (μs)	N از ۲
۷/۷۸	۶۷۹۲۶	۲۸,۵۹,۵۲	۳ از ۲
۰/۱۸۸	۷۵۶۸	۲۹,۳۱,۴۲,۳۸	۴ از ۲
۰/۱۰۶	۴۷۶	۳۱,۹۷,۶۸,۱۱۰,۷۶	۵ از ۲

برنامه M از N را در نظر بگیرید. هر ترکیب M تایی از دسته انتخابی باید شروط (۳) و (۴) را برآورده کنند. پس می‌توانیم محدوده‌ای از PRI را که نتوانیم قادر باشیم حتی یک ترکیب M تایی هم پیدا کنیم که شروط یکتایی را برآورده کنند را از محدوده انتخاب PRI حذف کنیم.



شکل ۹. (الف) مقدار  $PRI_{max}$  و (ب) مقدار  $PRI_{min}$  برای مقادیر مختلف برد ماکزیمم ( $R_{max}$ ) و داپلر ماکزیمم ( $D_{max}$ )

شکل (۱۰-الف) مقدار  $PRI_{max}$  و  $PRI_{min}$  را برای  $D_{max} = 50$  KHz در دو حالتی که دقت تفکیک در برد  $D_{bin} = 50$  m و  $D_{bin} = 100$  m است، نشان می‌دهد. با دقت در دو نمودار که با خطوط تیره مشخص شده‌اند می‌بینیم با افزایش مقدار تفکیک در برد با افزایش مقدار  $PRI_{min}$  مواجه می‌شویم. همچنین تغییر دقت تفکیک داپلر تاثیری در مقدار  $PRI_{min}$  ندارد و دو نمودار که با خطوط پر رسم شده‌اند، دقیقاً بر روی هم منطبق می‌شوند. شکل سمت راست شکل ۱۰ هم مقدار  $PRI_{max}$  و  $PRI_{min}$  را برای دو حالتی که دقت تفکیک در داپلر (سبد داپلر) با کاهش مقدار  $PRI_{max}$  مواجه می‌شویم. همچنین تغییر دقت تفکیک برد تاثیری در مقدار

#### ۴-۴-۱. تاثیر برد و داپلر ماکزیمم بر روی محدوده انتخاب PRF

علاوه بر مقادیر PRI، عواملی که در برآورده شدن شروط یکتایی تاثیر گذارند عبارتند از برد ماکزیمم ( $R_{max}$ )، داپلر ماکزیمم ( $D_{max}$ ) و عرض خوشة در دو حوزه برد و داپلر. در این بخش تاثیر  $D_{max}$  و  $R_{max}$  و در بخش بعدی تاثیر عرض خوشة را مورد بررسی قرار می‌دهیم. وقتی در محدوده PRI های پایین تر هستیم، مقادیر PRI متناظر با آنها بزرگ هم برآورده می‌شود. بنابراین شرط (۴) برای مقادیر  $D_{max}$  هم برآورده می‌شود. بنابراین شرط (۴) در اکثر موارد محدوده PRI های بالاتر هستیم، مقادیر PRF متناظر با آنها کوچکی هستند و در این حالت شرط (۳) برای مقادیر PRF بزرگ  $R_{max}$  هم برآورده می‌شود. بنابراین شرط (۳) در اکثر موارد برآورده خواهد شد و تاثیری در انتخاب  $PRI_{max}$  ندارد.

شکل (۹-ب) مقدار  $PRI_{min}$  با توجه به شرط (۳) و (۴) را برای مقادیر مختلف  $D_{max}$  و  $R_{max}$  نشان می‌دهد. همان‌طور که در این شکل مشخص است علی‌رغم تغییر  $D_{max}$  در هر سه حالت نمودارها بر روی هم منطبق شده‌اند، بنابراین می‌شود گفت که مقدار  $D_{max}$  تاثیری در تعیین  $PRI_{min}$  ندارد، بلکه این  $R_{max}$  است که تعیین کننده شکل (۹-الف) هم مقدار  $PRI_{max}$  را برای مقادیر مختلف برد ماکزیمم ( $R_{max}$ ) و داپلر ماکزیمم ( $D_{max}$ ) نشان می‌دهد. همان‌طور که در این شکل مشخص است علی‌رغم تغییر  $R_{max}$  در هر سه حالت نمودارها بر روی هم منطبق شده‌اند. بنابراین می‌توان گفت که مقدار  $R_{max}$  تاثیری در تعیین  $PRI_{max}$  ندارد، بلکه این  $D_{max}$  است که تعیین کننده  $PRI_{max}$  است و افزایش  $D_{max}$   $PRI_{max}$  را در پی دارد.

#### ۴-۴-۲. تاثیر دقت تفکیک برد و داپلر بر روی محدوده PRF

در این بخش تاثیر دقت تفکیک برد و داپلر را بر روی محدوده PRF بررسی می‌کنیم. همواره  $LCM_A \leq LCM$  است. هرچه دقت تفکیک در برد کاهش پیدا کند عرض خوشة کمتر شده و مقادیر  $LCM_A$  به مقادیر  $LCM$  نزدیک‌تر می‌شوند، یا به عبارتی مقدار  $LCM_A$  افزایش پیدا می‌کند. بنابراین با افزایش مقدار  $LCM_A$  احتمال برآورده شدن شرط (۳) افزایش پیدا می‌کند. بنابراین مقادیر کوچک‌تر PRI قادر به برآورده کردن این شرط هستند. پس کاهش دقت تفکیک در برد کاهش  $PRI_{min}$  و افزایش آن، افزایش  $PRI_{min}$  را در پی دارد. کاهش دقت تفکیک داپلر هم به دلایل ذکر شده افزایش  $PRI_{max}$  را در پی دارد.

### ۳-۴-۴. انتخاب مناسب ترین دسته PRF

همان طور که در بخش ۳-۴ توضیح داده شد در صورت اهمیت زمان پردازش کمتر، برنامه ۲ از ۵ انتخاب می‌شود. در ادامه کار نیز نشان دادیم که محدوده انتخاب PRF می‌تواند متفاوت باشد. با تغییر کران‌های مربوط به PRF متوسط، می‌توان در صورت امکان در عین حال که درصد سلول‌های کور را کاهش می‌دهیم، تعداد شیوه‌هدف نیز تغییر محسوسی پیدا نکند. در حالتی که محدوده انتخاب PRF بود ولی با تغییر محدوده PRF که محدوده انتخاب  $\text{PRF} \leq 18/\Delta \text{kHz}$  تا  $3 \text{ kHz}$  بود درصد سلول‌های کور برنامه ۲ از  $4\%$  به  $1\%$  رسید. به این ترتیب برای برنامه‌های ۲ از  $N$  می‌توانیم به جای برنامه ۲ از ۵ از استفاده کنیم که به زمان کمتری برای پردازش بر روی هدف نیاز دارد.

در جدول ۸ تاثیر هر یک از پارامترها در انتخاب دسته PRF مناسب آورده شده است.

جدول ۸. تاثیر پارامترها در انتخاب دسته PRF مناسب

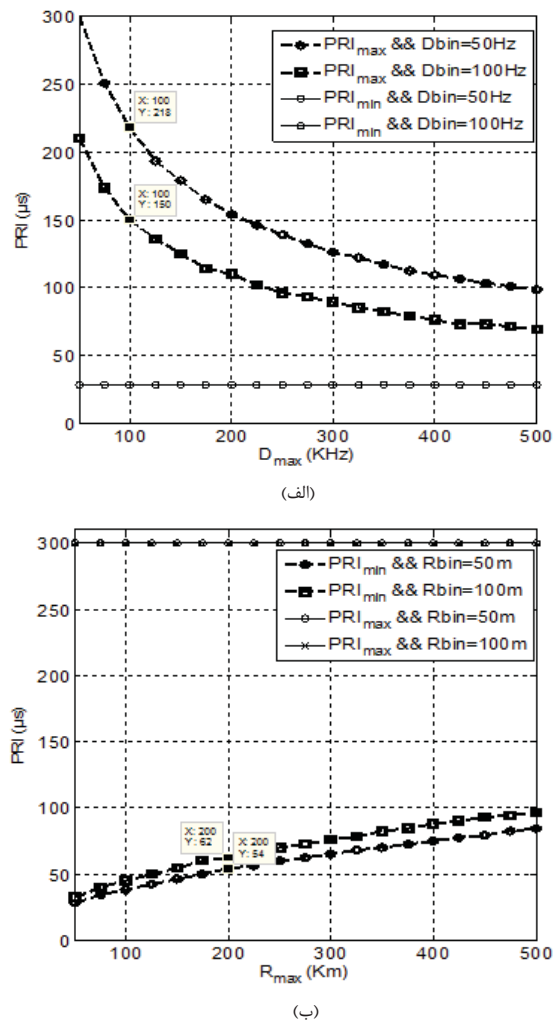
تاثیر	تغییر پارامتر
کاهش درصد محدوده کور	
کاهش درصد شیوه‌هدف	افزایش مقدار $N$
افزایش زمان پردازش	
افزایش درصد محدوده کور	
کاهش درصد شیوه‌هدف	افزایش مقدار $M$
افزایش کران بالا و کاهش کران پایین محدوده PRF متوسط	
کاهش کران بالا محدوده PRF متوسط	افزایش برد ماکزیمم
افزایش داپلر ماکزیمم	
کاهش کران بالا محدوده PRF متوسط	افزایش عرض سبد برد
افزایش عرض سبد داپلر	

### ۵. نتیجه‌گیری

در این مقاله از الگوریتم حذف شیوه‌هدف جدیدی برای کاهش درصد شیوه‌هدف استفاده شد که به شدت درصد ایجاد شیوه‌هدف را کاهش و نشان داده شد که در معیار  $M$  از  $N$ ، احتمال آشکارشدن شیوه‌هدف با افزایش مقدار  $N$  و  $M$  کاهش می‌یابد. همچنین شروط یکتایی جدیدی تعریف شد که نسبت به شروط یکتایی قبلی هنگام استفاده از خوشبندی در برابر خطای مقاوم است و درصد ایجاد شیوه‌هدف را کاهش داده است. در قسمت پایانی مقاله هم نشان داده شد که با

$PRI_{min}$  ندارد و دو نمودار که با خطوط پر رسم شده‌اند، دقیقاً بر روی هم منطبق می‌شوند.

از شکل ۱۰ می‌توان برای تعیین محدوده PRI متوسط (PRF) استفاده کرد. به عنوان مثال برای راداری با برد ماکزیمم  $200 \text{ Km}$  و  $50 \text{ m}$  داپلر ماکزیمم  $100 \text{ KHz}$  اگر اندازه سبد برد و داپلر به ترتیب  $54 \mu\text{s} \leq PRI \leq 218 \mu\text{s}$  باشد، محدوده انتخاب PRI باید  $(4/59 \text{ KHz} \leq PRF \leq 18/5 \text{ KHz})$  و اگر اندازه سبد برد و داپلر به ترتیب  $100 \text{ m}$  باشد، محدوده انتخاب PRI باید  $(6/7 \text{ KHz} \leq PRF \leq 16/13 \text{ KHz})$  باشد.



شکل ۱۰. (الف) مقدار  $D_{max}$  برای  $PRI_{max}$  و  $PRI_{min}$ ، (ب) برای سبد داپلر  $50\text{Hz}$  و  $100\text{Hz}$  برای سبد برد  $50\text{m}$  و  $100\text{m}$

تغییر محدوده انتخاب PRF متوسط می‌توان موجب کاهش زمان مورد نیاز برای پردازش شد و درصد سلول‌های کور را کاهش داد و این که کران‌های پایین و بالای این محدوده، وابسته به برد و داپلر ماکریم و اندازه سبدهای برد و داپلر است. افزایش برد ماکریم و افزایش عرض سبد برد، کاهش کران بالا محدوده PRF متوسط را در پی دارد و افزایش داپلر ماکریم و افزایش عرض سبد داپلر، موجب افزایش کران پایین محدوده انتخاب PRF متوسط می‌شود.

## ۶. مراجع

- [1] J. Simpson, “PRF set selection for pulse-Doppler radars,” IEEE Region 5 Conference, 1988: Spanning the Peaks of Electrotechnology, IEEE, 1988.
- [2] M. I. Skolnik, “Introduction to radar systems,” New York: Mc-Graw-Hill, 2003.
- [3] W. H. Long, and K. A. Harriger. “Medium PRF for the AN/APG-66 radar,” Proceedings of the IEEE Vol.73, No.2 pp. 301-311, 1985.
- [4] N. Levanon, and E. Mozeson. “Radar signals,” John Wiley & Sons, 2004.
- [5] A. MS. Zalzala, and P. J. Fleming, eds. Genetic algorithms in engineering systems. Vol. 55. Iet, 1997.
- [6] D. E. Goldberg, “Genetic Algorithms in Search, Optimization, and Machine Learning,” Addison-Wesley, Reading, MA, 1989.
- [7] E. J. Hughes and C. M. Alabaster, “Medium PRF radar PRF optimisation using evolutionary algorithms,” Radar Conference, 2003. Proceedings of the 2003 IEEE.
- [8] P. G. Davies, and E. J. Hughes. Medium PRF set selection using evolutionary algorithms,” Aerospace and Electronic Systems, IEEE Transactions on, Vol.38, No.3, pp.933-939, 2002.
- [9] C. M., Alabaster, E. J. Hughes, and J. H. Matthew. Medium PRF radar PRF selection using evolutionary algorithms,” Aerospace and Electronic Systems, IEEE Transactions on, Vol.39, No.3, pp. 990-1001, 2003.
- [10] Wiley, Dale, et al. Performance comparison of PRF schedules for medium PRF radar,” Aerospace and Electronic Systems, IEEE Transactions on, Vol.42, No.2 pp.601-611, 2006.
- [11] J. Clarke, “The Chinese remainder theorem and multi-PRF radars,” no. Rsre-Memo-3650, Royal Signals and Radar Establishment Malvern (United Kingdom), 1984.
- [12] M. I. Skolnik, “Radar Hondbokk,” McGaw-Hill, 2nd edition, 1990.
- [13] P. Vangenderen and W. J. H. Meijer, “Non coherent integration in a medium PRF radar,” Radar Conference, 1995, Record of the IEEE 1995 International, IEEE, 1995.

## **Robust Uniqueness Conditions for Resolving Range and Doppler Ambiguity and Determination of the Range of Medium PRF**

**N. Bahmani\*, M. A. Sebt**

\*K.N.Toosi University of Technology

(Received: 13/11/2014, Accepted: 03/03/2015)

### **Abstract**

The radars that use medium PRF, have either range ambiguity or Doppler ambiguity, but these ambiguities can be resolved with selecting a PRF set. Avoiding ghost targets detection and minimizing blind zones are two important points that should be considered in targets detection. Then, using this set, coincident algorithm and clustering the closely detected points, we resolve ambiguity and detect the targets. After that, to decrease ghost target detection, deghosting algorithm is used. In this paper, a new definition of uniqueness condition is presented to be robust against errors when clustering is employed. Also, it is shown that the medium PRF range depends on the maximum range and Doppler as well as range bin and Doppler bin.

**Keywords:** Range and Doppler Ambiguity, Medium PRF, Coincident Algorithms, Ghost Target, Range and Doppler Blind.

---

\*Corresponding author E-mail: Norouz.bahmani@ee.kntu.ac.ir